

Министерство высшего и среднего специального образования
РСФСР

Ордена Трудового Красного Знамени
Научно-исследовательский радиофизический институт(НИРФИ)

Преprint № 125

ИССЛЕДОВАНИЕ ФАЗОВЫХ ХАРАКТЕРИСТИК КАБЕЛЬ-
НЫХ ТРАСС ИНТЕРФЕРОМЕТРА

В.С.Беагон
Н.А.Дугин
А.А.Романычев
В.И.Турчин

Горький - 1979 г.

А н к о т а ц и я

Исследовалось влияние колебаний внешней температуры на фазовые характеристики различных кабельных линий интерферометра дециметрового диапазона с базой 420 метров. Рассмотрены методика, аппаратура и основные результаты проведенных исследований.

При создании малобазовых интерферометров (с передачей общего гетеродинного сигнала к смесителям) одной из основных проблем является обеспечение фазовой стабильности линий связи, по которым передаются частоты гетеродина и промежуточная. Обычно, чтобы обеспечить независимость фазы принимаемого сигнала от внешних условий, в частности, от колебаний температуры, кабельные линии стремятся разместить в закрытых галереях, закапывают в траншее, подкачивают инертным газом при постоянной температуре и давлении и т.д. Большинство подобных мероприятий дорогостоящи, системы сложны в эксплуатации, а замена каких-либо элементов трассы весьма затруднительна. Кроме того, терmostабилизация трасс часто оказывается недостаточной и приходится контролировать длину линий в процессе измерений или же создавать специальные системы передачи сигнала гетеродина (например, [1 - 6]).

Поэтому при проектировании двухэлементного интерферометра дециметрового диапазона (10 - 50 см) на радиоастрономическом полигоне НИРФИ в Старой Пустыни вопросы обеспечения стабильности фазы сигнала гетеродина были одними из основных. Разность высот установки антенн, равная 10 метрам на длине базы 420 метров, предопределяла неравномерность внешних условий на трассе, и прежде чем приступить к непосредственному строительству элементов интерферометрической

системы, требовалось исследовать фазовые характеристики имеющихся кабельных линий, а именно оценить уходы фазы сигналов при изменении внешней температуры для различных схем передачи частоты гетеродина. По полученным результатам необходимо было выбрать вариант защитной трассы и определить ритм работы системы калибровки, а также ее наиболее приемлемую схему.

Эксперименты проводились на частоте 600 мгц с использованием высокостабильного ($\sim 10^{-9}$) генератора. Измерялись параметры двух однородных отрезков кабеля РКД-2-7/28 геометрической длиной 430 метров каждый и нескольких кабелей РК-75-17-31 и РК-50-11-13, имевших разрывы в центральном пункте. Все кабели были уложены в деревянный короб, поднятый над землей на 50 см и покрытый всдонепроницаемым материалом. Такая защита исключала резкие перепады температуры, возникавшие в солнечные дни с редкой облачностью, но сохраняла плавные суточные колебания температуры исследуемых кабелей, которые в нашем случае были в пределах $+5^{\circ} \text{ - } +30^{\circ}\text{C}$ (июль-август).

В основном решались три задачи: 1) определялись величина изменения электрической длины кабелей при изменении их температуры и возможная максимальная скорость изменения; 2) определялись относительные изменения параметров линий, находящихся в одинаковых и различных условиях; 3) практически проверялась система калибровки линий, предложенная в работе [6]. Ниже приводятся методика и основные результаты измерений, а также описана аппаратура записи и обработки.

1. Определение зависимости электрической длины кабелей от температуры.

Измерялся коэффициент удлинения К, т.е. величина изменения электрической длины отрезка кабеля длиной 1 м

при изменении температуры на 1° ⁺). Измерения проводились по схеме рис. 1. Приращение длины кабеля определялось по фазе сигнала, равного сумме "полезного" и опорного сигналов, одновременно подаваемых на фазометр (абсолютная длина линий измерялась независимым способом на частотах 10 ± 30 мгц и считалась одинаковой на всех частотах до 600 мгц, т.к. коэффициент в этом диапазоне практически постоянен). Коэффициент удлинения кабеля с однокордельной полиэтиленовой изоляцией РКД-2-7/28 получился равным $3,3 \cdot 10^{-5} \text{ } 1/\text{град}$ ($\lambda = 50 \text{ см}$) с погрешностью 6-7%, коэффициент удлинения кабеля РК-50-11-13 со сплошной полиэтиленовой изоляцией примерно в 2 раза больше. Максимальное изменение кабеля РКД-2-7/28 общей длиной 1000 метров достигало 44 см при перепаде температур в 12°C .

Чтобы уменьшить влияние флуктуаций электрических характеристик линий связи на разность фаз гетеродинных сигналов, в схеме передачи сигнала гетеродина, описанной в работе [3], используются две параллельные линии однородных кабелей, причем предполагается, что в одинаковых условиях изменение электрической длины одного кабеля должно быть равно изменению второго. Чтобы проверить возможность осуществления подобных схем на практике, были измерены коэффициенты относительного удлинения одного кабеля по сравнению с другим. Образцы кабелей одинаковой геометрической длины были плотно связаны друг с другом по всей длине трассы: это давало возможность предполагать, что основной вклад в коэффициент удлинения внесут неоднородности, возникшие при изготовлении, а не разность температур кабелей, вероятность кото-

⁺) Под электрической длиной понимается величина $\bar{l}_{\text{пл}}$ = $\xi \cdot l_{\text{геом}}$, где $\xi = \lambda_0 / \lambda_k$ - коэффициент укорочения длины волны λ_k - длина волны в кабеле, λ_0 - длина волны в свободном пространстве, равна в данном случае 50 см.

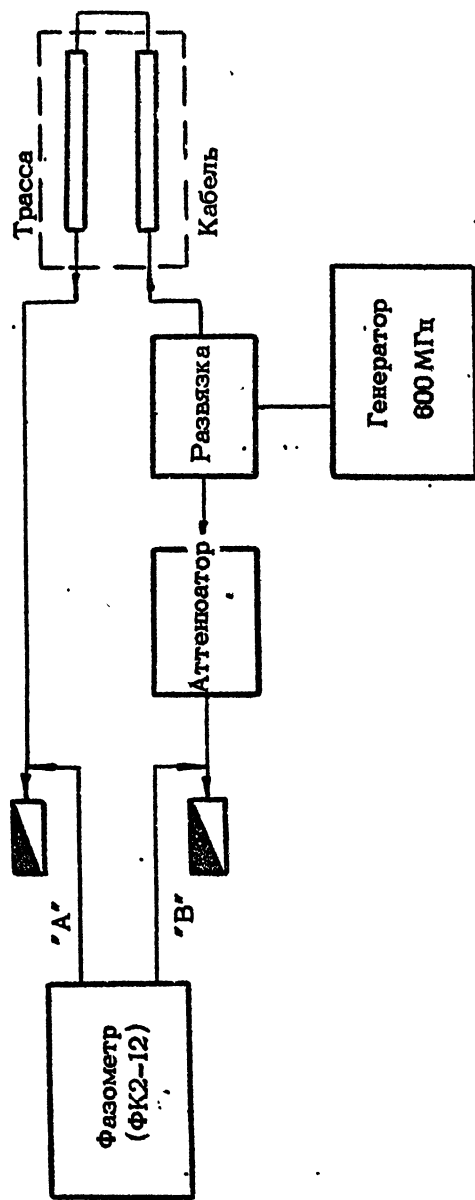


Рис. 1

рой нельзя было исключать. Измерения проводились по схеме рис. 2. Сигнал генератора разделялся в две параллельные линии, измерялась фаза одного сигнала относительно другого, принимаемого за опорный. Заметим, что такая схема позволяет использовать генераторы с обычной частотной нестабильностью ($\sim 10^{-3}$).

Коэффициент относительного удлинения K_{Δ} двух параллельных линий РКД-2-7/28 получился равным $3 \cdot 10^{-6}$ 1/град с погрешностью порядка 7%. Для кабеля РК-50-11-13 коэффициент относительного удлинения также был вдвое больше, чем для РКД-2-7/28. Два кабеля РК-75-17-31 с однокордельной полиэтиленовой изоляцией имели одно и два соединения на высокочастотных разъемах, что привело к значительным разбросам данных в различные дни наблюдений; в среднем значение коэффициента относительного удлинения неоднородной линии РК-75-17-3, почти вдвое превышало значение коэффициента удлинения одиночной линии РКД-2-7/28.

Максимальное наблюдавшееся изменение фазы сигналов двух линок РКД-2-7/28 равнялось $10^{\circ} - 11^{\circ}$ ($\lambda = 50$ см) при $\Delta T \sim 8^{\circ}-10^{\circ}\text{C}$, максимальная скорость изменения фазы достигала 3° в час, т.е. разность электрических длин кабелей менялась примерно на 4 мм в час. Если принять допустимую ошибку в фазе сигнала 3° , то при работе на волне 50 см необходимо проводить контроль разности длин линий связи 5 – 7 раз в сутки и не чаще, чем один раз в час; это можно считать вполне приемлемым, тем более, что не требуется специальной защиты кабелей. Однако, на волне 10 см количество калибровок увеличивается как минимум в пять раз и подобная схема передачи сигнала гетеродина, кроме систем калибровки, требует создания специальной теплозащитной трассы.

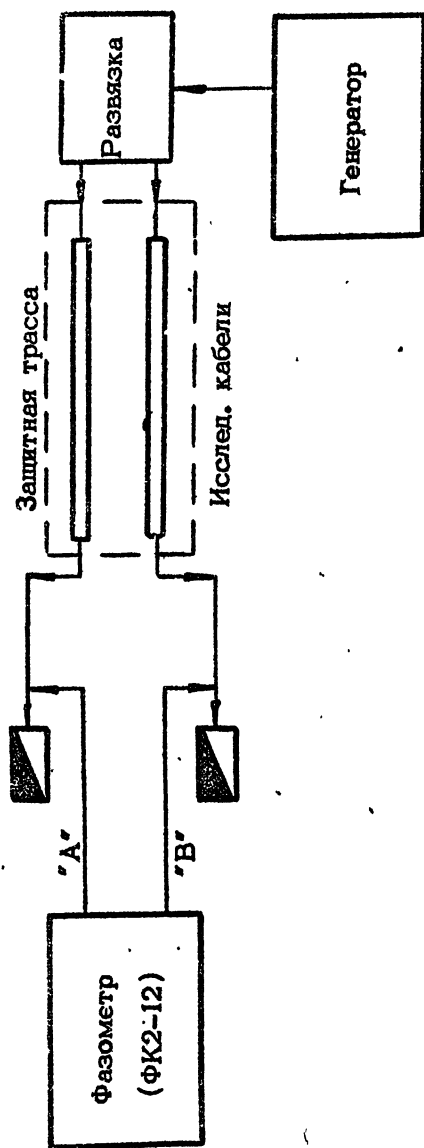


Рис. 2

2. Измерение разности электрических длин линий связи при расположении генератора в центральном пункте.

Если гетеродин расположен в центре трассы, то кабели в плечах интерферометра находятся, в общем случае, в различных условиях, что затрудняет количественную оценку возможных уходов разности фаз гетеродинных сигналов. Чтобы определить практически относительное изменение электрических длин кабельных линий была выбрана схема (рис. 3), аналогичная приведенной в работе [6]. Одно из преимуществ данной системы калибровки в том, что контролируется разность электрических длин сразу двух пар кабелей $l_1 - l_2$ и $L_1 - L_2$, однако при этом необходимо иметь дополнительный кабель D , соединяющий две антенны и не имеющий разрыва в центре.

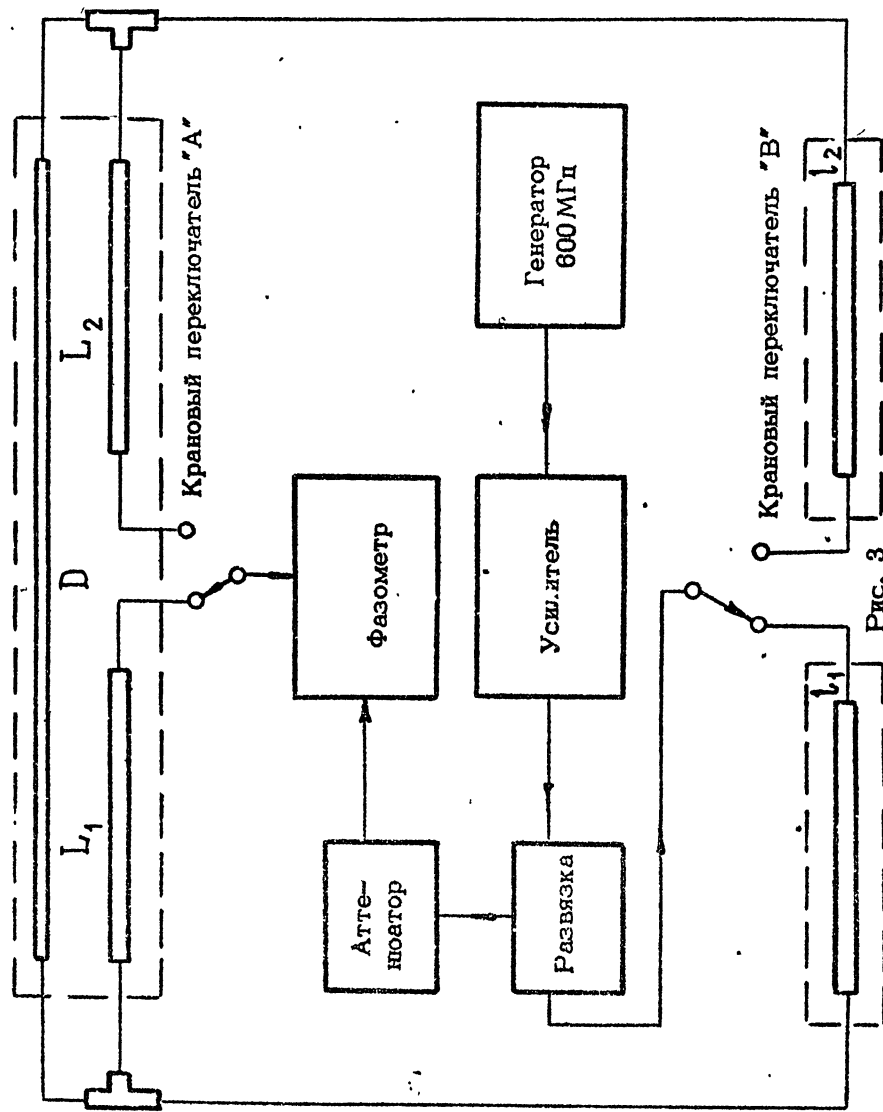
Несобходимые данные о калибруемых кабелях накапливаются в течение одного цикла измерений, состоящего из четырех замеров фазы сигналов, направляемых от генератора к фазометру различными путями с помощью двух краиновых переключателей:

$$\begin{array}{ll} \Phi_1 = l_1 + L_1 & \Phi_3 = l_2 + L_2 \\ \Phi_2 = l_2 + D + L_1 & \Phi_4 = l_1 + D + L_2 \end{array}$$

здесь Φ_i — показания фазометра (целое число длин волн не определяется). Комбинируя эти уравнения различными способами, получим

$$\begin{aligned} \Delta L &= L_1 - L_2 = \frac{1}{2} [\Phi_1 + \Phi_2 - \Phi_3 - \Phi_4], \\ \Delta l &= l_1 - l_2 = \frac{1}{2} [\Phi_1 - \Phi_2 - \Phi_3 + \Phi_4], \\ D &= \frac{1}{2} [-\Phi_1 + \Phi_2 - \Phi_3 + \Phi_4]. \end{aligned}$$

Очевидно, время одного цикла должно быть настолько малым, чтобы уходы электрической длины кабеля за время между отдельными измерениями в цикле не превышали ошибки измерений. Зависимость измерения всех трех величин $\Delta l, \Delta L, D$ от температуры определяется относительно первого полученного значения.



В качестве калибровочной нитки "D" использовался кабель РКД-2-7/28. Исследовались две пары РК-75-17-31, причем одна пара состояла из новых кабелей, другая же находилась на воздухе несколько лет. Средний коэффициент относительного удлинения одного кабеля в сравнении с другим таким же, но лежащим в противоположном плече трассы, получился равным $3 \cdot 10^{-5}$ 1/град с ошибкой около 5%. Отдельно для старых и новых кабелей эти коэффициенты равны $2,9$ и $3,2 \cdot 10^{-5}$ 1/град соответственно, т.е. отличаются примерно на 10%. Можно предположить, что кабели, находившиеся длительное время на воздухе, прошли своего рода термотренировку, улучшившую их характеристики (аналогичный результат приводится в работе [7]). Коэффициент удлинения K кабеля РК-75-17-31 оценен величиной $5,5 \cdot 10^{-5}$ 1/град.⁺), т.е., относительное удлинение двух линий, находящихся в нетождественных условиях, всего в $1,5 - 2$ раза меньше удлинения отдельной линии, а не на порядок, как это получено при исследовании кабелей РКД-2-7/28 и РК-50-11-13. Представим коэффициент относительного удлинения K_D двух нетождественных линий в виде $K_D = K \left(\frac{\Delta K}{K} + \frac{\Delta l}{l} + \frac{\delta T}{\Delta T} \right)$, где Δl и δT – разность электрических длин и температуры измеряемых отрезков кабеля,

ΔK – вариации коэффициента удлинения, зависящие от индивидуальных характеристик отдельных образцов кабеля. Как сказано выше, величина $\Delta K / K$ равна примерно 0,1. Примем, что $\Delta l / l$ и $\delta T / \Delta T$ имеют тот же порядок величин (это максимальная оценка). Тогда $K_D \leq 0,3 K$, т.е. как минимум вдвое меньше измеренного значения. К увеличению K_D привело, по-видимому, несовершенство исполнения некоторых элементов измерительной схемы, а

⁺) Точное значение коэффициентов удлинения кабелей по изменению отдельных фаз сигналов $\Phi_1 \div \Phi_4$ не могло быть определено, т.к. в данной схеме не проводилась калибровка Фазометра, которая при измерении основных величин $\Delta l, \Delta l_D$ не обязательна.

именно применение обычных тройников для соединения кабелей на концах трассы и коаксиальных крановых переключателей для коммутации линий.

Пример записи уходов измеряемой фазы со временем при изменении внешней температуры приведен на рис. 4. Максимальное зарегистрированное изменение разности фаз сигналов в двух линиях РК-75-17-31 составило 90° , т.е. уход разности электрических длин был порядка 12,5 см за дневной цикл измерений. Пересечение фазовых кривых указывает на то, что скорость изменения разности фаз не обязательно равномерна, а может увеличиваться или уменьшаться в каких-либо температурных зонах. Максимальная скорость изменения разности электрических длин кабелей достигала 4 см в час. Приняв допустимую ошибку в фазе 3° , получим, что калибровка должна проводиться каждые 5-6 минут при длине волны 60 см. Работа на волне 10 см с данной схемой передачи сигнала без принятия защитных мер уже не представляется возможной.

3. Аппаратура записи, обработки и управления.

Блок-схема регистрирующей аппаратуры приведена на рис. 5. Основным элементом схемы является специализированное управляющее вычислительное устройство 15 ВСМ-5.

Значения сигнала с цифрового вольтметрачитываются в память ЭВМ каждые 0,2 сек в течение времени единичного измерения, задаваемого в программе. Время вводится в машину с кварцевого синхронометра. По истечении времени измерения вычисляется среднее значение и дисперсия сигнала. Далее ЭВМ выдает команду на включение моторов крановых переключателей в порядке, определяемом выполняемой задачей. После окончания одного цикла измерений данные либо печатаются на ленту ЭПМ "Консул", либо выводятся на ленту самописца (в этом случае сразу вычерчивается график изменения фазы). Одновременно с печатью данных включается лентопротяжный механизм

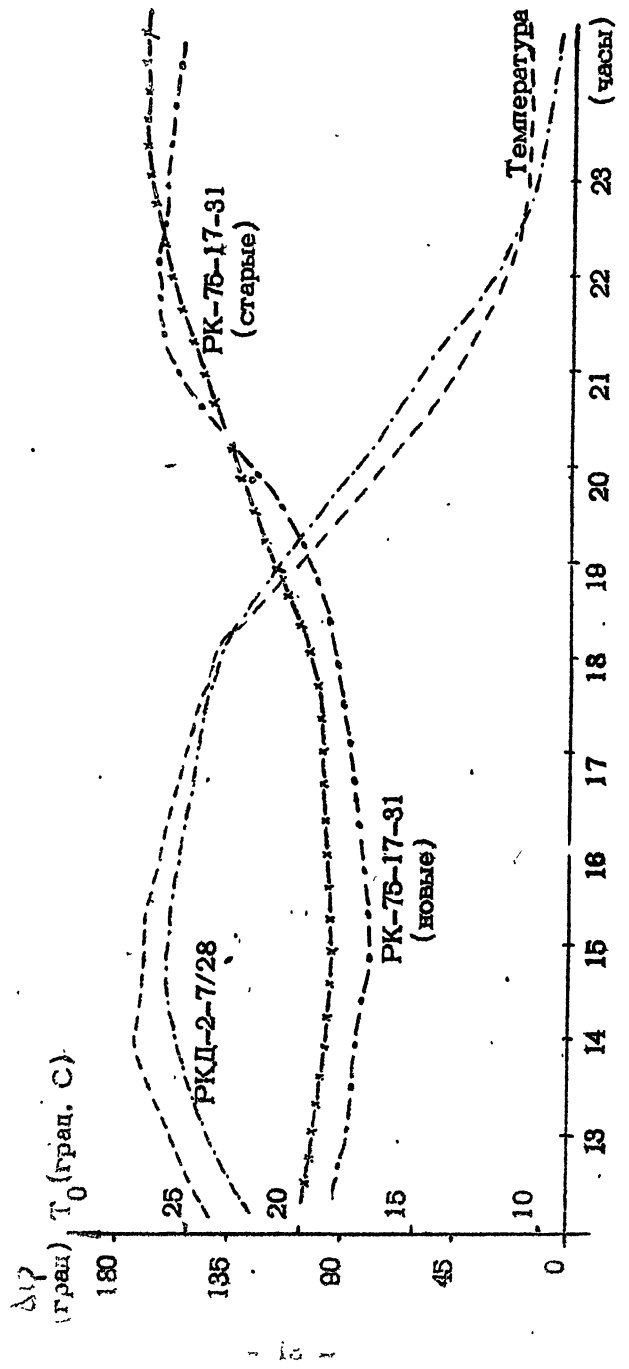


Рис. 4

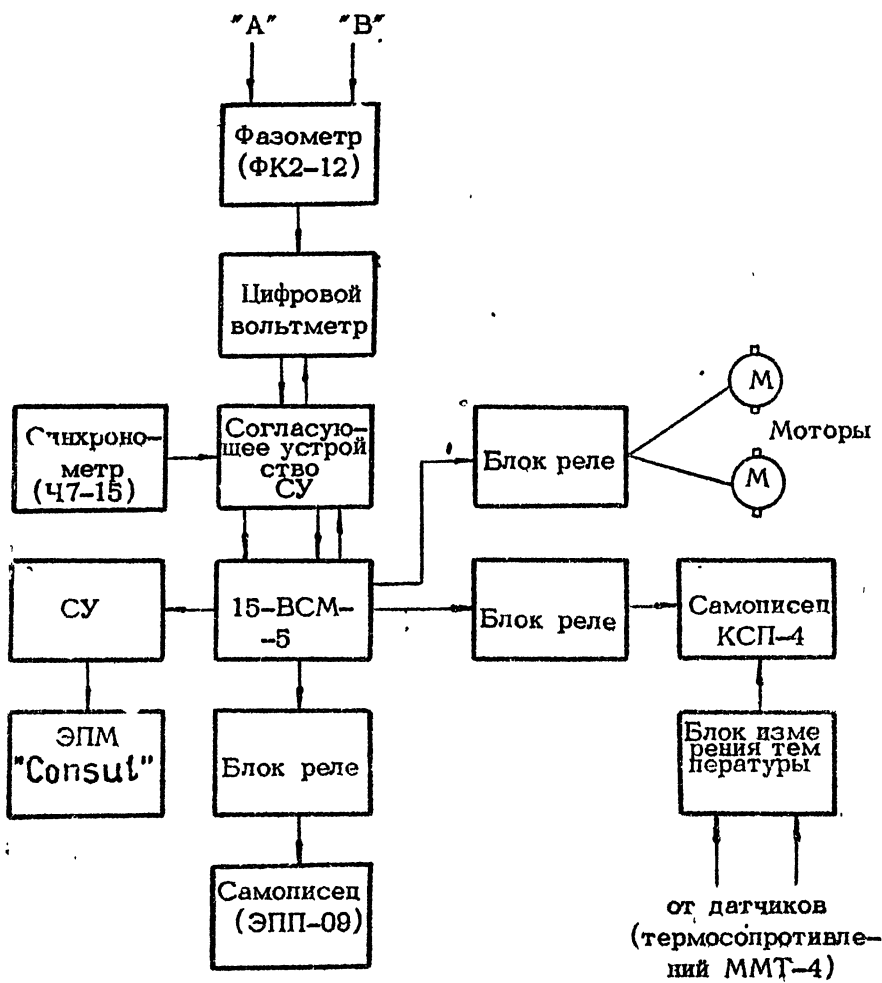


Рис. 5

двенадцатиканального самописца, на ленте которого вычерчиваются графики измерения внешней температуры и температуры внутри кабельной трассы.

В нашем случае температура трассы измерялась только в одной точке: по схеме рис. 1 и 2 - у нижнего конца, по схеме рис. 3 - в центре. При контроле температуры в центре наблюдалось практически полная корреляция уходов фазы с уходами температуры (рис. 4), а при контроле температуры конца трассы в части измерений наблюдалось запаздывание уходов фазы от уходов температуры на время от одного до двух часов. Это объясняется неравномерным измерением температуры по трассе, что может привести к ошибкам при обработке данных; поэтому измерение температуры кабелей должно проводиться не менее, чем в 3-5 точках по всей длине трассы, включая обе крайние точки.

Один цикл измерений по схемам рис. 1 и 2 состоял из 5-минутного замера фазы сигнала и 1-минутной калибровки фазометра; переключение кранового переключателя и запись температуры занимали 10-20 секунд. Цикл измерений по схеме рис. 3 состоял из 4 замеров фазы сигналов длительностью 1,5 минуты каждый, разделенных 10-секундовыми промежутками для работы моторов. При определении влияния качества контактов переключателей на фазу сигнала длительность отдельных замеров составляла 20 секунд.

Полное время работы аппаратуры достигало 13 часов. Режим работы автоматический.

4. Выводы.

1. Коэффициент относительного удлинения двух параллельных линий однородного кабеля на порядок меньше общего коэффициента удлинения отдельных линий такого же кабеля.

2. Контактные соединения в кабельных трассах нежелательны из-за возможности значительного возраста-
ния и нестабильности коэффициента удлинения при любом расположении кабелей в трассе.

3. Для достижения высокой точности результатов исследований фазовых характеристик кабельных трасс необходимо обеспечить такую длительность измерений, чтобы измерения температуры и фазы имели по меньшей мере два экстремума. В естественных условиях требуемый период измерений превышает 12 часов (смена температур от дня к ночи). Измерение температуры кабелей необходимо проводить в нескольких точках, включая обе конечные точки трассы.

4. Величины коэффициентов удлинения кабелей РКД-2-7/28, РК-78-17-31 и РК-50-11-13 лежат в пределах $(3 + 6) \cdot 10^{-5}$ 1/град на длине волны 50 см в диапазоне температур $(+5^\circ + +30^\circ)$.

5. Примененная схема калибровки разности электрических длин кабелей (рис. 3) достаточно эффективна при условии высокой стабильности характеристик элементов схемы.

Проведенные исследования позволили определить требования к схеме передачи сигнала гетеродина, схеме контроля электрической длины кабельных линий и к защитной трассе при подготовке к работе интерферометра дециметрового диапазона. Однако следует заметить, что для получения более точных данных о фазовых характеристиках кабелей необходимы дополнительные измерения с учетом всех требований, выявленных в процессе данных исследований.

Л И Т Е Р А Т У Р А

1. ТИИЭР, 61, № 9, 1973.
2. В.А.Алексеев, В.Д.Кротиков, Изв. ВУЗов, "Радиофизика", ХП, 1969.
3. Г.А.Озолиньш, Аппаратура и методы обработки радиоастрономических наблюдений, Рига, 23, 1972.
4. Т.Н.Legg, IEEE Trans. Ant. & Prop. AP-13, 428, 1965.
5. G.Swarup, K.S.Yang, IRE Trans. Ant. & Prop., AP-9, №1, 75, 1961.
6. M.Marimoto, Electronics Letters, Sept., 1, №7, 1965.
7. В.П.Фролова, Д.Я.Гальперович, Кабели связи и радиочастотные. М., Информстандартэнерго, стр. 212, 1967.